

## ЭКОЛОГИЯ И ОХРАНА ПРИРОДЫ

УДК 582.923.5:58.032  
 DOI: 10.36305/2712-7788-2022-4-165-27-39

### **МОДЕЛИРОВАНИЕ ОСОБЕННОСТЕЙ ВОДНОГО РЕЖИМА *PINUS NIGRA* *SUBSP. PALLASIANA* ПРИ ПОМОЩИ ЭКОФИЗИОЛОГИЧЕСКИХ ПАРАМЕТРОВ В УСЛОВИЯХ ЮБК**

**Олег Антонович Ильницкий, Андрей Владимирович Паштецкий**

Никитский ботанический сад – Национальный научный центр РАН,  
 298648, Республика Крым, г. Ялта, пгт Никита, Никитский спуск, 52  
 E-mail: ilnitsky.oleg@mail.ru

Для изучения экофизиологической реакции *Pinus nigra* subsp. *pallasiana* на воздействие факторов внешней среды в период вегетации, мы применили математическую модель пошагового регрессионного анализа. В качестве зависимых переменных использовали относительную скорость сокодвижения в побеге (*Sf*, от. ед.) – датчик сокодвижения SF-5P и диаметр побега (*d*, мм.) – датчик SD-10z. Независимыми переменными являлись основные факторы внешней среды. Доля дисперсии зависимой переменной, объясняемой применяемыми моделями, составляет 97%. Практический выход разработанной модели с соответствующими количественными характеристиками заключается в том, что в перспективе можно будет прогнозировать экологическое состояние определенного региона.

**Ключевые слова:** *Pinus nigra* subsp. *pallasiana*; математическая модель; водный режим; прогноз; оптимальные и предельные условия окружающей среды

#### **Введение**

Особенности климата Южного берега Крыма (ЮБК), являющимся регионом сухих субтропиков, позволяют сохранять естественную растительность, закладывать новые и реконструировать существующие зеленые насаждения, которые находятся в условиях микроклимата, формируемого окружающей средой (Анненков, 1984; Плугатарь и др., 2015).

Будущие климатические сценарии предсказывают, что Средиземноморский регион будет среди наиболее пострадавших частей мира с точки зрения увеличения частоты и интенсивности засух (Gauthier *et al.*, 2017). В раннем прошлом в Средиземноморском регионе уже наблюдалось повышение среднегодовой температуры и усиление летних засух, которые влияют на жизнеспособность и продуктивность лесов (Giorgi *et al.*, 2008). Изучение характера роста и реакции деревьев на условия окружающей среды может помочь предсказать, каким образом виды деревьев и леса могут реагировать на повышение температуры и нехватку воды.

При подборе таких видов растений необходимо изучение различных процессов жизнедеятельности в условиях их произрастания. В парках, лесопарках, хвойных лесах ЮБК лесообразующим видом является сосна Палласа или сосна крымская (*Pinus nigra* subsp. *pallasiana*, которую некоторые авторы считают подвидом сосны черной. Для изучения экофизиологической реакции на воздействие факторов внешней среды в условиях ЮБК проведены эти исследования.

Известно мало работ по реакции изучаемого вида на сезонные изменения климата в условиях Крыма и юга Украины (Ivan *et al.*, 2004; Korshikov *et al.*, 2011) и толерантности их к летней засухе, а также у растений, произрастающих в Средиземноморском регионе сухих субтропиков (Gauthier *et al.*, 2017). Проведены полевые исследования на сосне чёрной *Pinus nigra* subsp. *laricio* по реакции ее на летнюю засуху (университет Корсики -

Франция) в естественном горном сосновом лесу (Gauthier *et al.*, 2017). Наблюдается снижение газообмена и ксилемного потока, которое регулируется устьичной проводимостью. В то же время, увеличивается эффективность использования воды и снижение ограничения проводимости мезофилла. Такая реакция на летнюю засуху показывает возможности *Pinus nigra* subsp *laricio* пройти физиологическую адаптацию к изменению климата. В бассейне Средиземного моря, количество осадков, как ожидается, снизится на более чем на 25–30 % к концу 21-го века, вероятно, сопровождаясь повышением на 4–5°C среднегодовых температур (Giorgi, Lionello, 2008).

Кроме того, эти результаты служат важной основой для дальнейшего понимания экофизиологических ответов на изменяющиеся факторы окружающей среды.

Особенности водного режима сосны обыкновенной (*Pinus sylvestris* L.) в условиях средиземноморского горного климата изучались в «Институте наук о Земле 'Jaume Almera'» (Испания, Барселона). Для изучения реакции водного режима данного вида на почвенную и атмосферную засуху использовали ряд параметров: водный потенциал листьев, относительную скорость ксилемного потока, гидравлическую проводимость, газообмен листьев, устьичную проводимость. Результаты исследований позволили изучить реакцию этих параметров на воздействие экстремальных факторов внешней среды во время летней засухи и определить устойчивость вида (Poyatos *et al.*, 2008).

Исследования по изучению потоков углерода от листовой поверхности до ландшафтного уровня в условиях засухи (Sperlich *et al.*, 2015) проводились в парке Коллсерола, (Барселона, Испания) на различных видах, в том числе и на сосне аллепской (*Pinus halepensis* Mill.). Изучали зависимость сезонной акклиматизации фотосинтеза и морфологии в освещенных солнцем и затененных листьях в естественных условиях. Сильная засуха индуцировала раннее старение листьев и при этом значительно увеличилась масса листа на единицу площади. Затемненные листья (хвоя) имели более низкие фотосинтезирующие потенциалы и не смогли смягчить негативные последствия в периоды стресса. Проведенные исследования объясняют реакцию растительности на абиотические стрессы и обладают большим потенциалом для снижения неопределенности в наземных биосферах моделях, особенно в условиях засухи.

Для разработки научных основ выращивания саженцев и изучения влияния интенсивности светового излучения на фотосинтетические характеристики и эффективность водопользования *Pinus tabulaeformis* (родина – бассейн Средиземного моря, Китай) была проведена серия опытов в полузасушливой области на опытной станции Пекинского лесотехнического университета (Zhang *et al.*, 2007).

Результаты исследований показали, что интенсивность видимого фотосинтеза и транспирации при возрастании освещенности увеличивались, однако из-за нехватки воды в почве, устьичная проводимость уменьшается и может создать защитный механизм для предотвращения большего потребления воды и газообмена листьев.

Показано, что саженцы *Pinus tabulaeformis* особенно страдают от сильного света, приводящего к сдерживанию роста. Полученные результаты исследований позволили разработать научные основы выращивания саженцев для регионов с экстремальными факторами внешней среды.

Целью работы было исследование экофизиологической реакции *Pinus nigra* subsp. *pallasiana* на воздействие факторов внешней среды в период активной вегетации, влияющих на особенности водного режима, позволяющих определить оптимальные и ограничивающие условия произрастания вида в условиях ЮБК.

### Методология исследований

Сосна крымская (*Pinus nigra* subsp. *pallasiana*) Средиземноморский горный, доминирующий вид. Ареал растения включает Крым, главным образом южный склон

Яйлы, и Кавказ по склонам гор к югу от Геленджика. В древности крымская сосна покрывала чуть ли не все склоны и отроги гор Крыма до морского берега. Дерево высотой 20–30 (до 45 м). Крона широкая, пирамидальная, у более старых деревьев плоская, зонтикообразная. Ветви горизонтальные, с загнутыми вверх побегами. Кора чёрная или тёмно-бурая, трещиноватая, глубоко-бороздчатая, в верхней части ствола красноватая. Молодые побеги жёлто-бурые, блестящие. Почки крупные с прямыми, не отогнутыми чешуями. Хвоя тёмно-зелёная, очень плотная и колючая, несколько изогнутая, длиной 8–12 см, шириной 1,6–2,1 мм. Цветёт сосна крымская в начале мая. Шишки крупные, с коричневыми лоснящимися щитками и красным, слегка выпуклым пупком. Семена темно-серые, крапчатые, матовые, крупнее, чем у сосны обыкновенной. Шишки созревают в августе–сентябре. В ареале, в основном произрастает на каменистых почвах, содержащих известь. Хорошо растет на суглинистых и глинисто-известняковых почвах. Может хорошо расти на сухих и очень бедных почвах, чистых известняках и почвах с малым содержанием зольных элементов. Сосна крымская очень светолюбива и относительно влаголюбива. Хорошо развивается как в нижнем, так и среднегорном и верхнем лесном поясе на высотах 500–900 м н.у.м. На этих высотах, особенно выше 700 м, в условиях, с повышенной влажностью и более частыми осадками в виде дождя и снега, крымская сосна имеет наиболее интенсивный прирост и формирует сомкнутые древостои высокого бонитета. Очень хорошо возобновляется самосевом на открытых местах, особенно после пожаров и на вырубках.

Исследования проводились в условиях вегетационного опыта на территории центрального отделения Никитского ботанического сада. Растения – саженцы 3–4 лет, выращенные из черенков. Время проведения опытов июнь – сентябрь 2019–2020 гг.

Для измерения характеристик внешней среды использовали беспроводную систему фитомониторинга, которая включает Фитомонитор PM-11z компании “Bioinstruments S.R.L.”, USB адаптер и набор беспроводных датчиков: метеостанция DWS-11z – измерительный комплекс, объединяющий пиранометр (Apogee Instruments, США), датчик температуры и влажности воздуха, дождемер (Decagon Devices, США) и анемометр (Davis Instruments (США)). Изменения диаметра ствола (побега) – датчиками FI-Sz, SD-10z подключенным в беспроводную систему Фитомонитора PM-11z. Относительную скорость сокодвижения в побеге ( $S_f$ , от. ед.) – датчик сокодвижения SF-5P (Ильницкий и др., 2018).

Статистическую обработку данных выполняли с использованием прикладных компьютерных программ Statistica 10 (“Statsoft Inc.”, США) и Microsoft Excel 2010. Для моделирования и сглаживания двумерных данных использованы методы наименьших квадратов, а также математической модели пошагового регрессионного анализа. (Statistica 10). Все расчеты осуществляли при заданном уровне значимости  $P \leq 0,05$ .

## Результаты исследований

Проведенная серия опытов в тепличных условиях на протяжении периода вегетации позволила получить информацию об ответных реакциях данного вида на воздействие абиотических факторов. Фитомониторинг позволяет с помощью современных информационно-измерительных систем осуществить комплексную оценку состояния и функций растения, которая находится под влиянием антропогенных или природных факторов среды.

Эколо-физиологическая характеристика растений, выраженная в форме математической модели, позволяет определять потенциальный уровень процесса, условия его проявления, границы оптимума, возможности компенсации лимитирующих факторов и другие показатели, характеризующие потребности и пластичность организма (Дроздов, 1995; Дроздов, 2003; Larcher, 2003; Kint *et al.*, 2014).

Применение специальных алгоритмов обработки информации позволяет диагностировать физиологическое состояние и свойства генотипа. Результаты этих исследований дают возможность получать данные об интенсивности водного обмена, засухоустойчивости, теневыносливости, особенностях роста и развития растений.

Интенсивность транспирации и устьичная проводимость наиболее полно характеризуют особенности водного режима растения.

В наших исследованиях синхронно с регистрацией параметров внешней среды (независимые переменные), регистрировалась ряд зависимых переменных в том числе и скорость ксилемного потока в побеге и изменение диаметра этого побега. Установлено, что коэффициент корреляции между интенсивностью транспирации ( $E$ ) и скоростью ксилемного потока ( $S_f$ ) равнялся 0,784562, а между интенсивностью транспирации и устьичной проводимостью  $gs$  – 0,638624.

Учитывая, что измерения относительной скорости водного потока и диаметра побега объединяют показатели доступной для растения влаги в почве и параметры внешней среды, они могут быть использованы как ирригационный индикатор отклика (реакции) вида на водоснабжение (Ильницкий и др., 2018).

Эколого-физиологическая характеристика растений, выраженная в форме математической модели регрессионного анализа, была построена при помощи пошагового регрессионного анализа. В модель включались коэффициенты с уровнем значимости  $p$ -критерия Стьюдента, не превышающего 0,05.

В качестве зависимых переменных были взяты скорость ксилемного потока в побеге растения ( $S_f$ , от.ед.), и изменение диаметра этого побега ( $d$ , мм), а независимыми переменными являлись: ФАР (I) – фотосинтетически активная радиация, мкмоль/ $m^2\text{c}$ ; Тв – температура воздуха,  $^{\circ}\text{C}$ ; Тр – температура точки росы,  $^{\circ}\text{C}$ ; Н – влажность воздуха, %; VPD – дефицит влажности воздуха, кПа. Число наблюдений (длина ряда) составляла 7546. Зависимая переменная рассчитывалась по формуле:

$$v13=b0+b1*v3-b2*v4+b3*v5+b4*v6+b5*v7$$

Индексом  $v$  обозначались номера зависимой и независимой переменных. Зависимая переменная рассчитывалась по формуле:

$$Sf = 4,8003 + 1,0404 * VPD - 0,0367 * H\% + 0,3316 * Tw + 0,2658 * Tr^{\circ}\text{C} + 0,0001 * I$$

Точность аппроксимации выбранной модели основана на трех показателях эффективности (табл. 1–3) – коэффициента детерминации ( $R^2$ ), корня из среднеквадратичной ошибки (RMSE) и суммы квадратов ошибок (SSE). Как видно из таблиц, в уравнениях достаточно высокие коэффициенты детерминации и небольшие RMSE и SSE, уровень значимости критерия Стьюдента не превышает 0,05.

**Итоговые статистики**

**Final statistics**

Итоговые статистики; ЗП:Пер13 (Таблица данных)	
	Значение / Value
<b>Множест. R</b>	0,98897318
<b>Множест. R2</b>	0,97806796
<b>Скоррект. R2</b>	0,97805343
<b>F(5,7546)</b>	67303,3965
<b>p</b>	0
<b>Стд. Ош. Оценки</b>	0,172819842

Таблица 1

Table 1

Таблица 2  
Итоги регрессии для зависимой переменной

Table 2

## Regression results for the dependent variable

Итоги регрессии для зависимой переменной: Пер13 (Таблица данных)

 $R=0,98897318 R^2=0,97806796$ Скоррект.  $R^2=0,97805344 F (5,7546) = 67303, p=0000$ 

Стандартная ошибка оценки: 0,17282

N=7546	БЕТА	Ст.Ош. - БЕТА	B	Ст.Ош. - B	t (7546)	p-знач.
<b>Св. член</b>			4,800379	0,067771	70,832	0,00
<b>Пер3</b>	1,33131	0,002436	1,040470	0,001904	546,427	0,00
<b>Пер4</b>	-0,51091	0,010630	-0,036700	0,000764	-48,062	0,00
<b>Пер5</b>	-1,44707	0,011818	0,331681	0,002709	-122,448	0,00
<b>Пер6</b>	0,86945	0,009226	0,265812	0,002821	94,234	0,00
<b>Пер7</b>	-0,06991	0,002672	0,000188	0,000007	-26,164	0,00

Таблица 3

Коэффициенты ( $b_0 - b_6$ ) при независимых переменных в уравнении

Table 3

Coefficients ( $b_0 - b_6$ ) for independent variables in the equationМодель:  $v24=-b_0+b_1*v32+b_2*v33-b_3*V39+b_4*V42+b_5*v46$  (Таблица данных) Зав. пер.:Пер13 Потери: (OBS-PRED)\*\*2 Итоговые потери: 7747,0010474  $R=0,98897318$  Объяснён. дисперс.: 97

N=7546	b0	b1	b2	b3	b4	b5
<b>Оценка / Value</b>	4,800379	1,040470	-0,036700	0,331681	0,265812	0,000188

Точность модели – разность между экспериментальными данными и рассчитанными по модели (рис. 1).

## Нормальный вероятностный график остатков

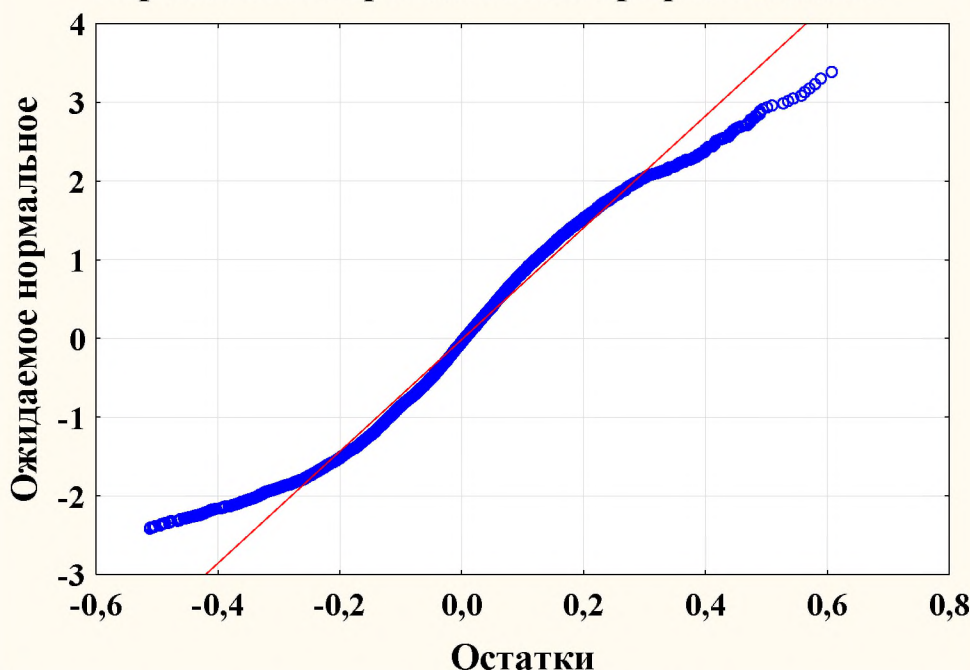
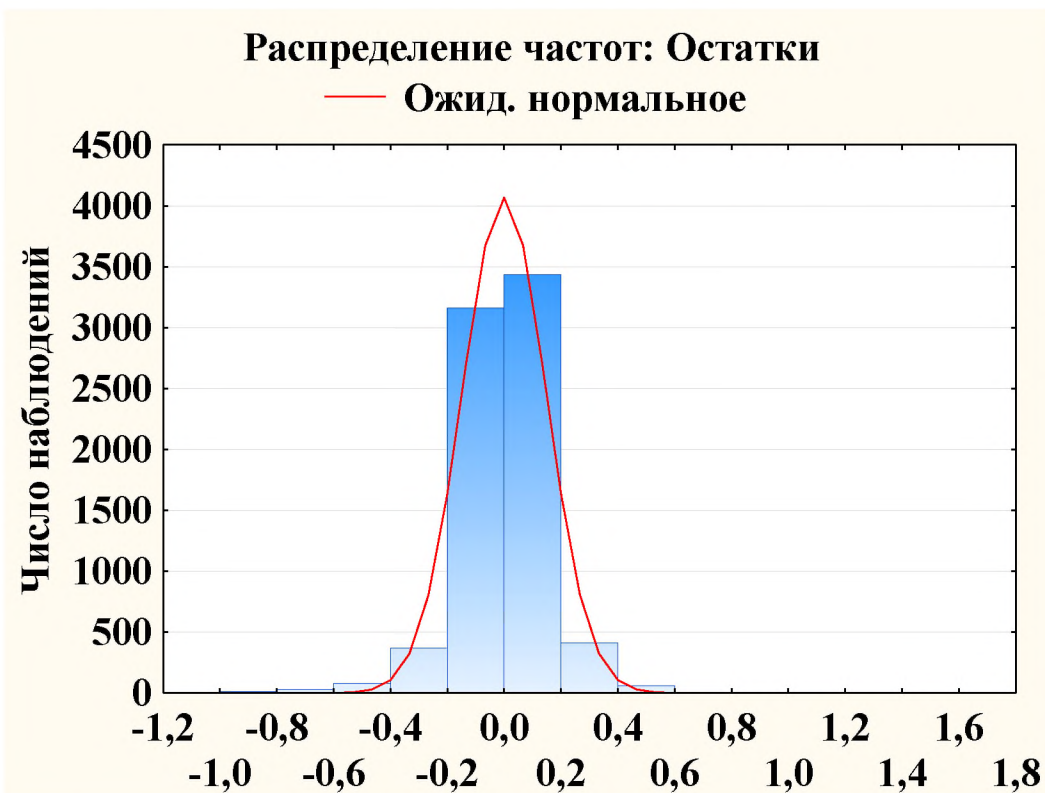


Рис. 1 Зависимость между нормальным вероятностным графиком остатков и ожидаемым нормальным

Fig. 1 The relationship between the normal probability plot of residuals and the expected normal

На рисунке 2 показана зависимость между числом наблюдений и ожидаемым нормальным распределением.



**Рис. 2 Зависимость между числом наблюдений и ожидаемым нормальным распределением**

**Fig. 2 Relationship between the number of observations and the expected normal distribution**

На рисунке 3 представлена диаграмма размаха независимых переменных в уравнении.

Доля дисперсии зависимой переменной, объясняемой применяемой моделью составляет 97 %. Модель вполне удовлетворяет предъявляемым требованиям.

Ниже приведено уравнение множественной регрессии где в качестве зависимой переменной было изменение диаметра этого побега ( $d$ , мм), а независимыми переменными являлись – ФАР (I): фотосинтетически активная радиация, мкмоль/ $m^2$ с; Тв – температура воздуха, °C; Тр – температура точки росы, °C; Н – влажность воздуха, %; VPD – дефицит влажности воздуха, кПа. Уравнение множественной регрессии имеет вид:

Модель:  $v10=b0+b1*v3+b2*v4-b3*v5+b4*v6-b5*v7$

$d = 5,9278 - 1,0432 * VPD + 0,0286 * H\% - 0,3239 * Tw + 0,2441 * Tr^0C - 0,00007 * I$

Число наблюдений (длина ряда) составляло 7546.

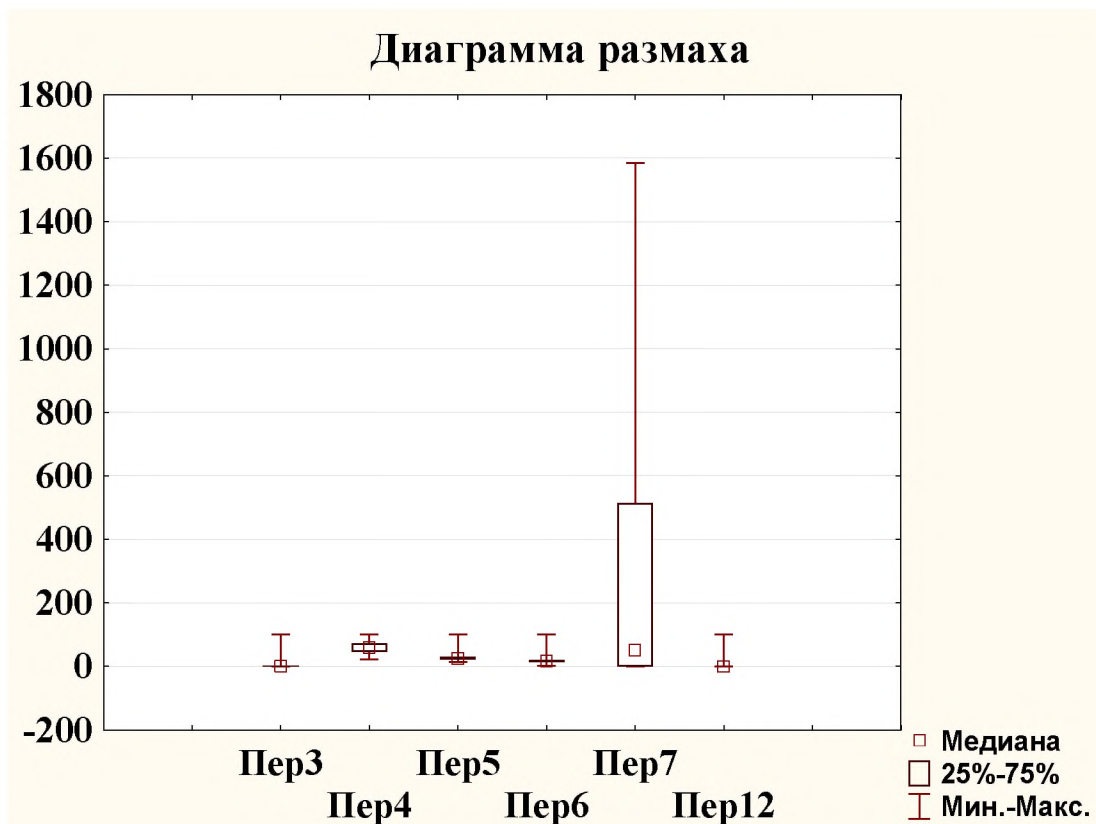


Рис. 3 Диаграмма размаха независимых переменных в уравнении  
Fig. 3 Diagram of the range of the independent variables in the equation

Точность аппроксимации выбранной модели основана на трех показателях эффективности (табл. 4–6) – коэффициента детерминации ( $R^2$ ), корня из среднеквадратичной ошибки (RMSE) и суммы квадратов ошибок (SSE).

Как видно из таблиц, в уравнениях небольшие RMSE и SSE и уровень значимости критерия Стьюдента не превышает 0,05.

Точность модели – разность между экспериментальными данными и рассчитанными по модели (рис. 4).

Таблица 4

Итоговые статистики

Table 4

Final statistics

Итоговые статистики; ЗП:Пер10 (Таблица данных)	
	Значение / Value
<b>Множест. R</b>	0,98949213
<b>Множест. R2</b>	0,97909468
<b>Скоррект. R2</b>	0,97908083
<b>F(5,7546)</b>	70692,3286
<b>p</b>	0
<b>Стд. Ош. Оценки</b>	0,237262

Таблица 5

## Итоги регрессии для зависимой переменной

Table 5

## Regression results for the dependent variable

Итоги регрессии для зависимой переменной: Пер10 (Таблица данных) R= 0,98949213

R2= 0,97909468 Скоррект. R2= 0,9790468 F(5,7547)=70692, p=0000

Стандартная ошибка оценки: 0,23726

N=7547	БЕТА	Ст.Ош. - БЕТА	B	Ст.Ош. - B	t(7547)	p-знач.
<b>Св.член</b>			5,927866	0,092777	63,8936	0,000000
<b>Пер3</b>	1,20089	0,002232	-1,043279	0,001939	537,9503	0,000000
<b>Пер4</b>	-0,28362	0,010371	0,028638	0,001047	-27,3462	0,000000
<b>Пер5</b>	-1,01998	0,011596	-0,323969	0,003683	-87,9606	0,000000
<b>Пер6</b>	0,58639	0,009254	0,244143	0,003853	63,3688	0,000000
<b>Пер7</b>	-0,01925	0,002608	-0,000073	0,000010	-7,3797	0,000000

Таблица 6

## Коэффициенты (b0 – b6) при независимых переменных в уравнении

Table 6

## Coefficients (b0 – b6) for independent variables in the equation

Модель: v10=b0+b1\*v3-b2\*v4-b3\*v5+b4\*v6-b5\*v7 (Таблица данных) Зав. пер.:

Пер10 Потери:

(OBS-PRED)\*\*2 Итоговые потери: 424,84520933 R= ,98949 Объяснён. дисперс.: 97

7547	b0	b1	b2	b3	b4	b5
<b>Оценка / Value</b>	5,927866	-1,043279	0,028638	-0,323969	0,244143	-0,000073

## Нормальный вероятностный график остатков

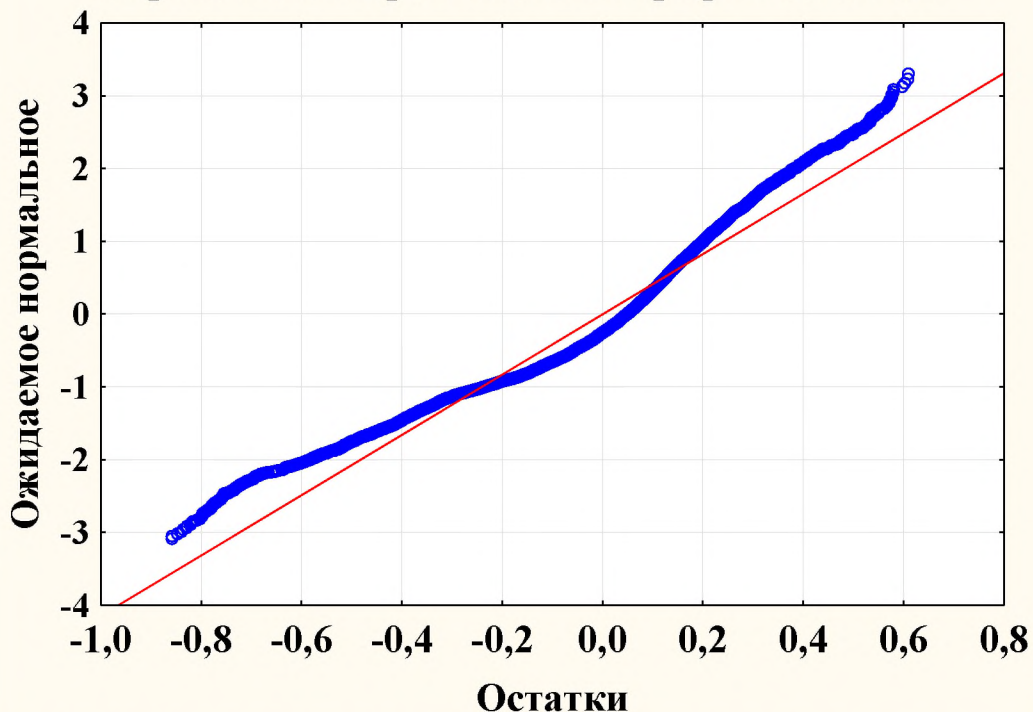


Рис. 4 Зависимость между нормальным вероятностным графиком остатков и ожидаемым нормальным

Fig. 4 The relationship between the normal probability plot of residuals and the expected normal

На рисунке 5 показана зависимость между числом наблюдений и ожидаемым нормальным распределением.

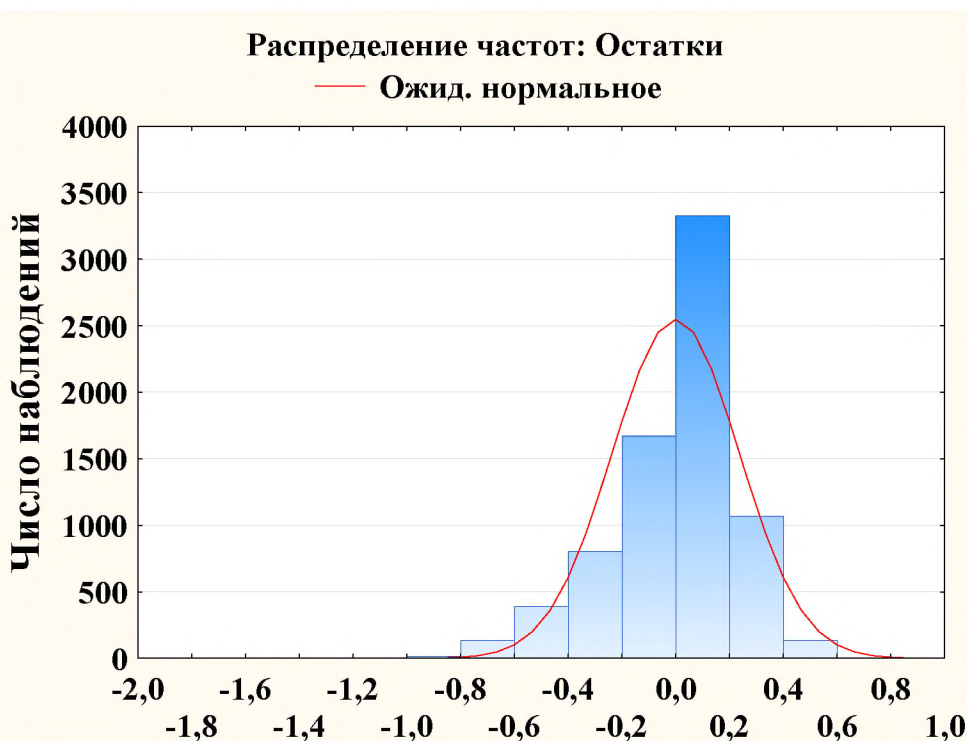


Рис. 5 Зависимость между числом наблюдений и ожидаемым нормальным распределением  
Fig. 5 Relationship between the number of observations and the expected normal distribution

На рисунке 6 представлена диаграмма размаха независимых переменных в уравнении.

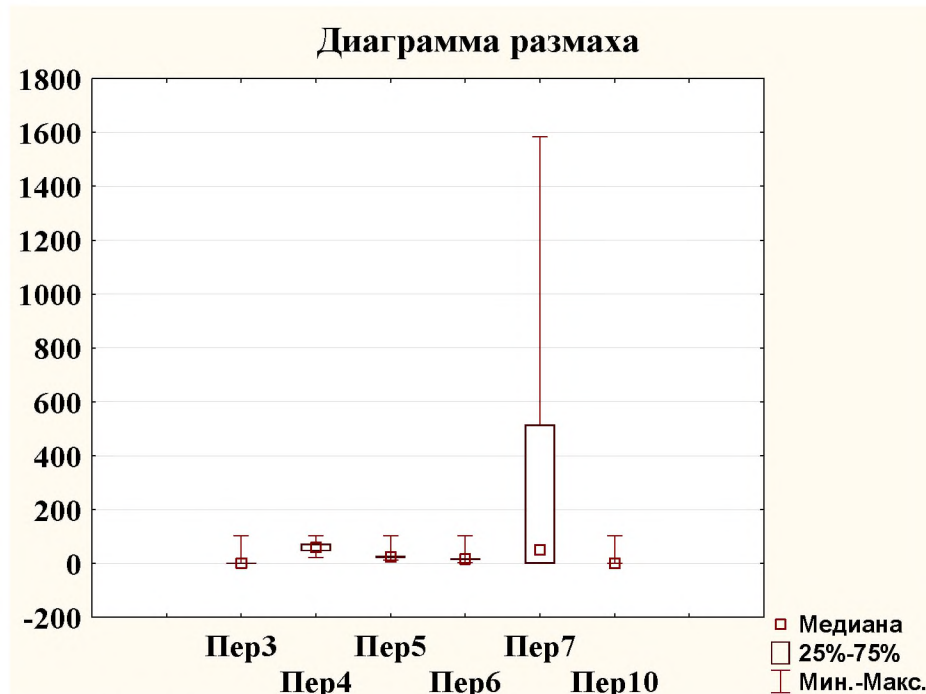


Рис. 6 Диаграмма размаха независимых переменных в уравнении

Fig. 6 Diagram of the range of the independent variables in the equation

Доля дисперсии зависимых переменных разработанных моделей составляет 97% и модель вполне удовлетворяет предъявляемым требованиям.

Для моделей множественной регрессии (таблица 7) были рассчитаны коэффициенты корреляции между независимыми переменными (3-7) и зависимыми ( $S_f$ ,  $d_p$ ).

Таблица 7  
Коэффициенты корреляции между независимыми переменными (3-7) и зависимыми ( $S_f$ ,  $d$ )  
*Table 7*  
**Correlation coefficients between independent variables (3-7) and dependent variables ( $S_f$ ,  $d$ )**

Независимые переменные Independent variables	Пер3	Пер4	Пер5	Пер6	Пер7
<b>Зависимые переменные (<math>S_f</math>, <math>d</math>) Dependent variables (<math>S_f</math>, <math>d</math>)</b>	ДДВП (кПа)	Относительная влажность воздуха (Н, %)	Температура воздуха (°C)	Точка росы (°C)	ФАР (мкмоль/м <sup>2</sup> ·с)
<b><math>S_f</math>, отн. ед.</b>	0,71677	-0,413029	0,758146	0,370093	0,690338
<b><math>d</math>, мкм</b>	-0,34924	0,33008	-0,41804	-0,126571	-0,2075

Из таблицы видно, что скорость ксилемного потока в побеге растения ( $S_f$ , от.ед.) имеет более тесные корреляционные связи с факторами внешней среды – освещенностью (ФАР), температурой воздуха (Тв), и дефицитом влажности воздуха (ДДВП) чем изменение диаметра побега. Диаметр побега ( $d_p$ , мм) имеет положительную корреляционную связь с относительной влажностью воздуха (0.33008), с остальными факторами внешней среды эта связь отрицательна.

Доля дисперсии зависимых переменных, объясняемой применяемыми моделями, составляет 97 %.

До настоящего времени нет разработанной теоретической и материальной основы для сбора и анализа информации о физиологическом состоянии растительности. Проводятся периодические обследования растений на выбранных территориях с тем, чтобы можно было оценить эволюцию состояния растений и составлять прогнозы его развития с учетом изменения состояния окружающей среды в данном регионе (Генкель, 1982; Nevzat *et al.*, 2014.; Meletiou-Christou, 2017).

Эколо-физиологические характеристики растений, выраженные в форме математической модели зависимости биологических процессов от условий среды, позволяет определять потенциальный уровень процесса, условия его проявления, границы оптимума, возможности компенсации лимитирующих факторов и другие показатели, характеризующие потребности и пластичность организма (Aylin *et al.*, 2020.; Mohamed *et al.*, 2020). Информация позволяет диагностировать физиологическое состояние и свойства генотипа. Результаты этих исследований дают возможность получать данные об интенсивности водного обмена, засухоустойчивости, теневыносливости, особенностях роста и развития растений (Jones *et al.*, 2003).

Функции приборной базы фитомониторинга – это непрерывный мониторинг как характеристик растения, так и параметров среды, системный анализ данных и их изменений во времени.

### Выводы

Изучение экофизиологической реакции *Pinus nigra* subsp. *pallasiana* на воздействие факторов внешней среды в период вегетации, влияющих на особенности водного режима, позволило определить ряд параметров, позволяющих построить математические модели этих зависимостей: зависимыми переменными являлись скорость ксилемного потока ( $S_f$ ) в побеге растения и изменение диаметра этого побега ( $d_p$ ), а независимыми переменными являлись основные факторы внешней среды.

Эколого-физиологическая характеристика растений, выраженная в форме математической модели регрессионного анализа, была построена при помощи пошагового регрессионного анализа, где качество зависимых переменных мы использовали

Выбранная модель на основана на трех показателей эффективности – коэффициента детерминации ( $R^2$ ), корня из среднеквадратичной ошибки (RMSE) и суммы квадратов ошибок (SSE). В уравнениях достаточно высокие коэффициенты детерминации и небольшие RMSE и SSE и уровень значимости критерия Стьюдента не превышает 0,05. Доля дисперсии зависимой переменной, объясняемой применяемыми моделями, составляет 98–99%.

Установлено, что коэффициент корреляции между интенсивностью транспирации ( $E$ ) и скоростью ксилемного потока ( $S_f$ ) равнялся 0,784562, а между интенсивностью транспирации и устьичной проводимостью  $gs$  – 0,638624.

Разработанная математическая модель зависимости биологических процессов от условий среды позволяет определять потенциальный уровень процесса, условия его проявления, границы оптимума, возможности компенсации лимитирующих факторов и другие показатели, характеризующие потребности и пластичность организма.

Рассчитанные коэффициенты корреляции между независимыми и зависимыми переменными показывают, что скорость ксилемного потока в побеге растения ( $S_f$ , от.ед.) имеет более тесные корреляционные связи с факторами внешней среды – освещенностью (ФАР), температурой воздуха ( $T_b$ ), и дефицитом влажности воздуха (ДДВП), чем изменение диаметра побега. Диаметр побега ( $d_p$ , мм) имеет положительную корреляционную связь с относительной влажностью воздуха (0,33008), с остальными факторами внешней среды эта связь отрицательна.

Практический выход разработанной модели с соответствующими количественными характеристиками заключается в том, что в перспективе можно будет прогнозировать экологическое состояние определенного региона.

### Литература / References

*Анненков А.А.* Методические рекомендации по изыскательским работам для проектирования объектов озеленения в Крыму. Ялта, 1984. 26 с.

[*Annenkov A.A.* Methodological recommendations on survey work for the design of landscaping facilities in the Crimea. Yalta, 1984. 26 p.]

*Генкель П.А.* Физиология жаро- и засухоустойчивости растений. М.: Наука, 1982. 280 с.

[*Genkel P.A.* Physiology of heat and drought resistance of plants. M.: Nauka, 1982. 280 p.]

*Дроздов С.Н., Курец В.К.* Некоторые аспекты экологической физиологии растений. Петрозаводск: ПетрГУ, 2003. 172 с.

[*Drozdov S.N., Kurets V.K.* Some aspects of ecological physiology of plants. Petrozavodsk: PetrSU, 2003. 172 p.]

*Дроздов С.Н., Попов Э.Г., Курец В.К.* Влияние света и температуры на нетто-фотосинтез и дыхание *Betula pendula* var. *pendula* и *Betula pendula* var. *carelica* (Betulaceae) // Ботанический журнал. 1995. Т. 80, № 3. С. 60–64.

[Drozdov S.N., Popov E.G., Kurets V.K. Influence of light and temperature on net photosynthesis and respiration of *Betula pendula* var. *pendula* and *Betula pendula* var. *carellica* (Betulaceae). *Botanical Journal*. 1995. 80 (3): 60–64]

Ильницкий О.А., Плугатарь Ю.В., Корсакова С.П. Методология, приборная база и практика проведения фитомониторинга. Симферополь: ИТ «АРИАЛ», 2018. 233 с. [Il'nyts'kyi O.A., Plugatar Yu.V., Korsakova S.P. Methodology, instrument base and practice of phytomonitoring. Simferopol: PH "ARIAL", 2018. 233 p.]

Плугатарь Ю.В., Корсакова С.П., Ильницкий О.А. Экологический мониторинг Южного берега Крыма. Симферополь: ИТ «АРИАЛ», 2015. 162 с.

[Plugatar Yu.V., Korsakova S.P., Il'nyts'kyi O.A. Ecological monitoring of the Southern Coast of the Crimea. Simferopol: PH "ARIAL", 2015. 162 p.]

Korshikov I.I., Ducci F., Terliga N., Bychkov S., Gorlova E. Allozyme variation of *Pinus pallasiana* D. Don in Natural Crimean populations and in plantations in technogenously-polluted areas of the Ukraine steppes // Annals of Forest Science. 2004. Vol. 61. P. 389–396. DOI: 10.1051/forest:2004032

Korshikov E.A., Mudrik O.V., Krasnoshtan T.I., Velikorid'ko L.A., Kalafat D.Yu. Age Dynamics of the Population Gene Pool of the Crimean Pine (*Pinus pallasiana* D. Don) in Crimea // Cytology and Genetics. 2011. Vol. 45. No. 1. p. 33–37.

Lapa G., Morandini F., Ferrat L. Sap flow and photosynthetic response to climate and drought of *Pinus nigra* in a Mediterranean natural forest // Trees. 2017. Vol. 31. P. 1711–1721. DOI: 10.1007/s00468-017-1580-0

Giorgi F., Lionello P. Climate change projections for the Mediterranean region // *Global and Planetary Change*. 2008. P. 90–104. DOI: 10.1016/j.gloplacha.2007.09.005

Poyatos R., Llorens P., Piñol J., Rubio C. Response of Scots pine (*Pinus sylvestris* L.) and pubescent oak (*Quercus pubescens* Willd.) to soil and atmospheric water deficits under Mediterranean mountain climate. // Annals of Forest Science. 2008. Vol. 65 (3). P. 306–306. DOI:10.1051/forest:2008003.

Sperlich D., Chang C.T., Peñuelas J., Gracia C., Sabaté S. Seasonal variability of foliar photosynthetic and morphological traits and drought impacts in a Mediterranean mixed forest // Tree Physiology. 2015. Vol. 35. P. 501–520. DOI:10.1093/treephys/tpv017

Zhang W., He K., Wang Y., Wang B., Deng J., Zhou Y., Zhong X., Li Z. Effects of light radiation intensity on photosynthetic characteristics and water use efficiency of *Platycladus orientalis* and *Pinus tabulaeformis* seedlings // Frontiers of Forestry in China. 2007. Vol. 2(2). P. 192–197. DOI: 10.1007/s11461-007-0031-2

Larcher W. Physiological Plant Ecology: Ecophysiology and Stress Physiology of Functional Groups. Heidelberg: Springer-Verlag, 2003. 506 p.

Kint V., Aertsen W., Fyllas N.M., Trabucco A., Janssen E., Özkan K., Muys B. Ecological traits of Mediterranean tree species as a basis for modelling forest dynamics in the Taurus mountains, Turkey // Ecological Modelling. 2014. Vol. 286. P. 53–65.

Nevzat G., Ayşe D., Dilek Y. Effects of irrigation and fertilization on the growth of juniper seedlings Der Einfluss von Bewässerung und Düngung auf das Wachstum von Wacholdersämlingen // Austrian Journal of Forest Science. 2014. Heft 3. S. 171–190.

Meletiou-Christou MS., Rhizopoulou S. Leaf functional traits of four evergreen species growing in Mediterranean environmental conditions // Acta Physiologiae Plantarum. 2017. Vol. 39. N 1. P. 34–46. DOI: 10.1007/s11738-016-2330-4.

Güney A., Zweifel R., Türkan S. Reiner Z., Magnus W., Coşkun O.G. Drought responses and their effects on radial stem growth of two co-occurring conifer species in the Mediterranean mountain range // Annals of Forest Science. 2020. Vol. 77. Article. 105. <https://doi.org/10.1007/s13595-020-01007-2>

Mohamed A.B.A., Nicole D.W. Use and Soil Moisture Relationships on Western Juniper Trees at Different Growth Stages // Water. 2020. Vol. 12. P. 1596.

Jones H.G., Archer N., Rotenberg E., Casa R. Radiation measurement for plant ecophysiology // Journal of Experimental Botany. 2003. Vol. 54(384). P. 879–889. DOI: 10.1093/jxb/erg116

*Статья поступила в редакцию 10.10.2022 г.*

**Ilnitsky O.A., Pashtetsky A.V. Simulation of the features of the water regime of *Pinus nigra* subsp. *pallasiana* with the use of ecophysiological parameters in the conditions of the Southern Coast of the Crimea //** Plant Biology and Horticulture: theory, innovation. 2022. № 4 (165). P. 27-39

To study the ecophysiological response of *Pinus nigra* subsp. *pallasiana* on the impact of environmental factors during the growing season, we applied a mathematical model of stepwise regression analysis. As dependent variables, we used the relative speed of sap flow in the shoot (Sf., from. units.) - sap flow sensor SF-5P and the diameter of the sap (d, mm.) - sensor SD-10z. The independent variables were the main environmental factors. The proportion of variance in the dependent variable explained by the applied models is 97%. The practical output of the developed model with the corresponding quantitative characteristics is that in the future it will be possible to predict the ecological state of a certain region.

**Key words:** *Pinus nigra* subsp. *pallasiana*; mathematical model; forecast; optimal and limiting environmental conditions